

ОБ ОДНОМ СЛУЧАЕ ИНТЕГРИРОВАНИЯ УРАВНЕНИЙ ДВИЖЕНИЯ ВЯЗКОЙ ЖИДКОСТИ С ПЕРЕМЕННЫМ КОЭФФИЦИЕНТОМ ВЯЗКОСТИ

А. К. Павлин

(Черновицы)

Рассматривается плоская задача о теплообмене в вязкой жидкости, заключенной между двумя неограниченными параллельными плоскостями, одна из которых перемещается с постоянной скоростью. Для величины, обратной абсолютному коэффициенту вязкости, принята линейная зависимость от температуры. Найдено распределение скорости и температуры вязкой жидкости по сечению.

1. Между двумя твердыми неограниченными параллельными стенками, из которых верхняя движется равномерно с постоянной скоростью в направлении положительной оси  $OX$ , находится вязкая несжимаемая жидкость. Требуется определить распределение скорости и температуры в жидкости, если температура стенок поддерживается постоянной, движение жидкости происходит лишь за счет перемещения границы и на распределение температур и скоростей влияет тепло, приобретаемое жидкостью вследствие внутреннего трения.

Ось  $OX$  лежит в нижней плоскости, которую мы считаем неподвижной, ось  $OY$  перпендикулярна к ней; толщина плоской трубы —  $h$ .

Считаем, что скорость частиц жидкости всюду параллельна оси  $OX$ , давление постоянно и что действием массовых сил пренебрегается.

При этих условиях для решения поставленной задачи имеем уравнения

$$\frac{d}{dy} \left( \mu \frac{du}{dy} \right) = 0, \quad \lambda \frac{d^2 T}{dy^2} = -\mu \left( \frac{du}{dy} \right)^2 \quad (1.1)$$

которые вместе с тем являются уравнениями движения жидкости и притока тепла в слое между вращающимися цилиндрами при малой толщине слоя. Граничные условия

$$u = 0, \quad T = T_1 \text{ при } y = 0, \quad u = V, \quad T = T_2 \text{ при } y = h \quad (1.2)$$

В уравнениях (1.1) и (1.2)  $u$  и  $T$  — соответственно переменные скорость и температура жидкости, зависящие от  $y$ ,  $\lambda$  — коэффициент теплопроводности, взятый в механических единицах, который мы считаем постоянным,  $\mu$  — абсолютный коэффициент вязкости.

Для функции  $\mu^{-1} = F(T)$  примем линейную зависимость, справедливую для густых (смазочных) масел, нефти, а также для некоторых расплавленных металлов (например, чугуна), механизм движения которых не характеризуется какими-либо особенностями по сравнению с обычными случаями течения «нормальных» жидкостей:

$$F(T) = \frac{1}{\mu_1} + B(T - T_1) \quad (1.3)$$

Здесь  $\mu_1$  — вязкость при температуре  $T_1$ ,  $B$  — постоянный температурный градиент текучести.

2. Примем для определенности  $T_2 > T_1$  и перейдем к безразмерным величинам

$$y = \frac{y}{h}, \quad \mu = \frac{\mu}{\mu_1}, \quad u = \frac{u}{V}, \quad T = \frac{T - T_1}{T_2 - T_1} \quad (2.1)$$

Для простоты в дальнейшем будем пользоваться прежними обозначениями.

Уравнения (1.1), граничные условия (1.2) и зависимость (1.3) в безразмерных величинах принимают вид:

$$(\mu u')' = 0, \quad T'' = -\mu q^2 (u')^2 \quad (2.2)$$

$$u = 0, \quad T = 0 \quad \text{при } y = 0; \quad u = 1, \quad T = 1 \quad \text{при } y = 1 \quad (2.3)$$

$$\frac{1}{\mu} = 1 + p^2 T \quad (2.4)$$

Здесь и в дальнейшем производные берутся по  $y$ .

Из (2.2) следует, что  $\mu u' = c_1$ , причем  $c_1 = \tau h / V \mu_1$ , где  $\tau = \text{const}$  — напряжение трения, которое, таким образом, остается постоянным во всех плоскостях, параллельных стенкам, и на самих стенках и подлжит в дальнейшем определению. Попутно заметим, что  $\tau$  однозначно определяется заданием скорости  $V$  стенки.

Далее, используя (2.4), получим  $u' = c_1 (1 + p^2 T)$ ; отсюда  $c_1 p^2 T'' = u''$ . Подставляя последнее выражение для  $T''$  во второе уравнение (2.2) и заменяя  $\mu u'$  на  $c_1$ , получим

$$u'' + a^2 u' = 0 \quad \left( a^2 = c_1^2 p^2 q^2 = \tau^2 h^2 \frac{\beta}{\lambda} \right) \quad (2.5)$$

Решая это линейное уравнение и удовлетворяя граничным условиям (2.3), найдем искомое выражение для  $u$  в виде

$$u = A + \frac{1}{pq} \sin(ay) - A \cos(ay) \quad (2.6)$$

После подстановки  $u'$  в (2.5) получим также, что

$$T = \frac{1}{p^2} [\cos(ay) + pqA \sin(ay) - 1] \quad (2.7)$$

В (2.6) и (2.7)

$$A = \frac{p^2 + q^2 + 2}{2q^2}, \quad \frac{a}{2} = \arctg \frac{pq}{2 + p^2} \quad (2.8)$$

Таким образом, из четырех произвольных постоянных две оказались равными по величине и противоположными по знаку, а  $\tau$  определяется из соотношения

$$\operatorname{tg} \left( \frac{\tau h}{2} \sqrt{\frac{B}{\lambda}} \right) = \frac{\mu_1 V}{2 + \mu_1 B T p} \sqrt{\frac{B}{\lambda}} \quad (2.9)$$

Так как напряжение трения  $\tau$  однозначно определяется заданием  $V$  и возрастает вместе с  $V$ , то легко установить, что при определении  $\tau$  следует в правой части второго равенства (2.8) всегда брать главное значение; при этом с возрастанием  $a$  скорость  $V$  возрастает от 0 до  $\infty$ , что вполне соответствует физическому содержанию задачи. Итак, последняя постоянная  $\tau$ , а значит, и  $C_1$ , однозначно определяется из (2.9).

Если теперь в решениях (2.6) и (2.7) перейти к размерным величинам, получим точное решение полных уравнения движения и притока тепла (1.1) и (1.2):

$$u = \frac{B\lambda\mu_1 T_p^2 + \mu_1 V^2 + 2\lambda T_p}{2\mu_1 V} \left[ 1 - \cos\left(a \frac{y}{h}\right) \right] + \frac{1}{\mu_1} \sqrt{\frac{\lambda}{B}} \sin\left(a \frac{y}{h}\right) \quad (2.10)$$

$$T = T_1 + \frac{1}{B\mu_1} \left[ \cos\left(a \frac{y}{h}\right) + \sqrt{\frac{B}{\lambda}} \frac{B\lambda T_p^2 + \mu_1 V^2 + 2\lambda T_p}{2V} \sin\left(a \frac{y}{h}\right) - 1 \right] \quad (2.11)$$

При  $\mu = \text{const}$  вместо (2.10) получим  $u = (y/h)V$  — обыкновенный ливейный закон, а вместо (2.11)

$$T = T_1 + \left( T_p + \frac{\mu V^2}{2\lambda} \right) \frac{y}{h} - \frac{\mu V^2}{2\lambda} \left( \frac{y}{h} \right)^2$$

и значение  $y_0$ , при котором  $T = T_{\text{max}}$ , будет равно

$$y_0^* = \left( \frac{\lambda T_p}{\mu V^2} + \frac{1}{2} \right) h$$

Как и следовало ожидать,  $y_0 = 1/2 h$  при  $T_p = 0$ . В последнем случае

$$T_{\text{max}} = T_1 + \frac{\mu V^2}{8\lambda}$$

3. Перейдем к исследованию зависимостей  $u = u(y)$  и  $T = T(y)$ , причем будем пользоваться формулами (2.6) и (2.7).

Из (2.5) сразу вытекает, что

$$u'(y) \neq 0 \quad (V \neq 0) \quad \text{и} \quad u'(y) > 0$$

Из (2.2) следует, что  $T''(y) < 0$ , т. е. что кривая  $T = T(y)$  в системе  $yOT$  вогнута вниз.

Для определения  $y_0$  — значения безразмерной координаты  $y$ , при котором  $T = T_{\text{max}}$ , поступаем обычным образом.

Искомая величина  $y_0$  находится из соотношения

$$y_0 = \frac{1}{a} \arctg \frac{p}{2q} (p^2 + q^2 + 2) \quad (0 \leq y_0 \leq 1)$$

где  $a$  определяется из (2.9). Фиксируя все параметры, входящие в  $p$  и  $q$ , кроме  $V$ , найдем, что  $y_0 \rightarrow 1/2$  при  $V \rightarrow \infty$ ,  $y_0 \rightarrow \infty$  при  $V \rightarrow 0$ .

Значение  $T_{\text{max}}$  дается формулой

$$T_{\text{max}} = \frac{1}{p^2} (V\sqrt{1 + (pqA)^2} - 1) \quad (3.1)$$

или в размерных величинах

$$T_{\text{max}} = T_1 + \frac{T_p}{p^2} (V\sqrt{1 + (pqA)^2} - 1) \quad (3.2)$$

значения  $p$ ,  $q$  и  $A$  были даны выше.

Производная  $u''(y)$  совпадает, как нетрудно проверить, по знаку с  $T'(y)$  и обращается в нуль вместе с последней, т. е. при  $y = y_0$ ; в интервале  $[0, y_0]$  производная  $u'' < 0$ , в интервале  $(y_0, 1]$  имеем  $u'' > 0$  и  $u''(y_0) = 0$ . Определим еще  $V_0$  — скорость при которой  $T_{\text{max}} = 1$  и  $y_0 = 1$ . Считая в (3.1)  $T_{\text{max}} = 1$ , получим после несложных преобразований соотношение

$$q^2 = p^2 + 2 \quad (3.3)$$

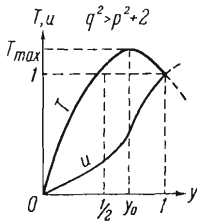
из которого определяется  $V_0$ .

Легко проверить, что

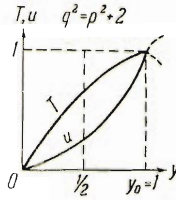
$$T'(1) = 0 \quad \text{при} \quad q^2 = p^2 + 2.$$

При значении  $V = V_0$ , определяемой формулой (3.3), точка (1.1) в системах координат  $(yOx)$  и  $(yOT)$  будет точкой максимума для  $T$  и точкой перегиба для  $u$ .

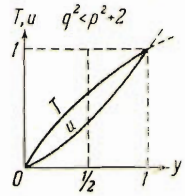
Наглядно изменение  $T$  и  $u$  при различных значениях  $V$  и произвольных, но фиксированных значениях всех остальных параметров можно изобразить следующими графиками в безразмерных величинах  $T$  и  $u$ .



Фиг. 1



Фиг. 2



Фиг. 3

В заключение приведем таблицу, при вычислении которой принято

$$T_1 = 20^\circ, \quad T_2 = 40^\circ, \quad \mu_1 = 243 \cdot 10^{-4} \frac{\text{кг сек}}{\text{м}^2}, \quad \lambda = 30,7 \cdot 10^{-8} \frac{\text{ккал}^1}{\text{м сек}^2 \text{ } ^\circ\text{C}}$$

$$h = 10^{-3} \text{ м}, \quad J = 427 \frac{\text{кгм}}{\text{ккал}}$$

Таблица

$V$ м/сек	1	5	6.7	10	15	20
$A$	23.30	1.41	1	0.73	0.60	0.56
$1/pq$	2.20	0.44	0.36	0.22	0.15	0.11
$p^2$	2.24	—	—	—	—	—
$q^2$	0.09	2.33	4.20	9.31	20.92	37.21
$y_0/y$	6.80	1.31	1	0.78	0.65	0.60
$T_{\text{max}}$	40 <sup>1</sup>	40 <sup>1</sup>	40	42	48	58
$\tau$ кг/м <sup>2</sup>	11	52	66	86	106	109
$\tau_0$ кг/м <sup>2</sup>	14	72	97	145	217	290

<sup>1</sup> Наибольшая температура в подшипнике (при  $y = h$ ).

В этой таблице  $\tau_0$  — напряжение трения при  $\mu = \text{const}$ ,  $T = 30^\circ$ . Для подшипников  $d = 24$  см взятые в таблице линейные скорости соответствуют диапазону числа оборотов от 85 до 1600 в минуту.

Нами взят, конечно, наиболее неблагоприятный случай  $T > T_1$ , и все же полученные результаты без учета теплоотдачи (охлаждения) могут быть приняты во внимание при расчетах.

Поступила 3 III 1954